

## УПРУГОПЛАСТИЧЕСКАЯ МОДЕЛЬ РАСЧЕТА КОНТАКТНЫХ ДЕФОРМАЦИЙ

Котенева Н. В.

*Алтайский государственный технический университет, Барнаул*

Контактное нагружение является одним из наиболее распространенных случаев силового взаимодействия деталей машин и конструкций. Оно возникает в процессе совместной работы сопряженных элементов машин и механизмов (например, в соединениях с натягом, болтовых соединениях, в подшипниках скольжения, направляющих, фрикционных муфтах сцепления и в ряде других случаев).

Чаще всего в зоне силового контакта тел возникает местная упругопластическая деформация. Сопротивление материала упругопластической контактной деформации является одним из важнейших факторов, определяющих условия трения и изнашивания деталей машин, контактную жесткость элементов машиностроительных конструкций, их прочность и эксплуатационную надежность и т.д. Однако строгая математическая теория, позволяющая решать задачи, связанные с упругопластической контактной деформацией при динамическом нагружении, аналогичные тем, которые описаны применительно к упругому контакту, еще не создана. Этим, в частности, определяется необходимость и целесообразность исследования контактных задач упругопластичности как при статическом, так и динамическом взаимодействии.

Наиболее хорошо изученным и часто используемым в практических применениях является случай контакта сферического индентора радиуса  $R$  с упругим полупространством под действием статической силы  $P$ , так называемый герцевский контакт или герцевское нагружение (рис. 1).

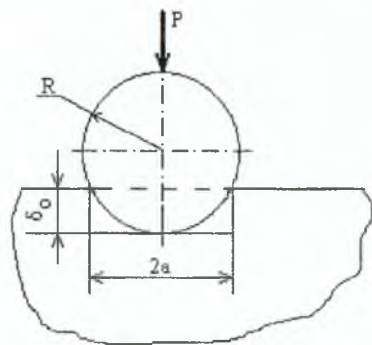


Рис. 1. Внедрение сферического индентора в упругое полупространство (контакт Герца)

В соответствии с теорией Герца сближение тел  $\delta_0$  является степенной функцией контактной нагрузки  $P$  [1], т.е.

$$\delta_0 = k P^{2/3}$$

где  $k = 2 \frac{(1-\mu^2)}{E}$ ,  $E, \mu$  – упругая постоянная, нормальный модуль упругости и коэффициент Пуассона соответственно

С возрастанием контактной нагрузки  $P$  впервые возникает пластическая деформация, которая затем постепенно распространяется как на глубину, так и к поверхности контртела. При некоторой величине нагрузки на поверхности контртела нарушается упругое восстановление материала контртела и общее сближение, уменьшившись на величину  $\delta_p$  контртела, становится равной  $\delta_{\epsilon}$  (рис. 2).

шившись на величину  $\delta_p$  контртела, становится равной  $\delta_{\epsilon}$  (рис. 2).

С появлением на поверхности контакта остаточной вмятины упругие деформации продолжают, как известно, подчиняться зависимостям теории упругости, однако, очевидно, что при этом обычные «упругие» формулы должны быть скорректированы в соответствии с новыми условиями контакта. Принципиальное отличие этих условий от условий чисто упругого контакта тел состоит в том, что при наличии остаточной вмятины сфера радиусом  $R$  находится в контакте не в точке, а с поверхностью остаточной вмятины, радиус кривизны которой равен  $R_1$  (рис. 2).

Для определения величины  $R_1$  примем следующие допущения:

- 1) со снятием нагрузки сферический контур отпечатка не изменяется;
- 2) профиль вмятины под нагрузкой и после разгрузки в плоскостях ее главных кривизн очерчен окружностью радиусом  $R_1$ ;
- 3) поверхность контртела вне контакта не деформируется.

С учетом вышесказанного поправка к формуле Герца, учитывающая влияние пластической деформации контртела в зоне контакта на величину упругого сближения, может быть рассчитана по формуле [2]:

$$\Omega = \left( 1 + \frac{\delta_{pl}}{\delta_y} \right)^{\frac{1}{3}}, \quad (1)$$

где  $\delta_y$  – упругая составляющая полного сближения;  $\delta_{pl}$  – пластическая составляющая полного сближения.

Окончательно имеем

$$\delta_y = \frac{\delta_0}{\Omega},$$

или с учетом формулы (1)

$$\delta_y = k^{\frac{3}{2}} (R\pi RH)^{\frac{1}{2}}, \quad (2)$$

Сближение, соответствующее зарождению и наличию пластической деформации можно рассчитать по формуле [3]:

$$\delta_{pl} = \frac{R}{2\pi RH}, \quad (3)$$

Полное сближение в упругопластическом контакте сферы с контртелом состоит из двух слагаемых, остаточного сближения  $\delta_{pl}$ , равного глубине остаточного отпечатка, и упругого сближения  $\delta_y$ , исчезающего со снятием нагрузки вследствие упругого восстановления контртела. Таким образом,

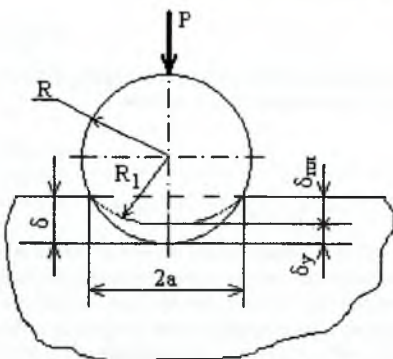


Рис. 2. Схема внедрения жесткого шара в плоскую границу упругопластического контртела

$$\delta = \delta_s + \delta_{ie}. \quad (4)$$

Подставляя в уравнение (4) значения упругого и остаточного сближений из формул (2) и (3), соответственно, получаем:

$$\delta = \alpha R + \beta(\gamma R)^{\frac{1}{2}}, \quad (5)$$

$$\text{где } \alpha = \frac{1}{2\pi RH}; \quad \beta = k^{\frac{3}{2}}; \quad \gamma = \pi RH$$

Приведенные выше формулы позволяют рассчитать полное сближение в упруго-пластическом контакте при статическом нагружении. В ряде случаев контактирование твердых тел происходит при динамическом, в частности, ударном, нагружении. Динамичность нагружения характеризуется либо скоростью удара или скоростью деформации, либо скоростью напряжения, которая зависит от скорости приложения нагрузки. При упругопластическом контактировании материалов в условиях динамического нагружения появляется дополнительное сближение, что может привести к изменению механических свойств поверхности. Упругий контакт при первоначальном соударении твердых тел осуществляется редко, особенно для металлов. Анализ напряженного состояния материала при динамическом упругопластическом внедрении в него жестких инденторов представляет собой очень сложную задачу, и исследования в этом направлении еще продолжаются. Отсутствие общих методов построения тонких решений нелинейных задач динамики приводит к необходимости разработки эффективных приближенных численно-аналитических методов.

Во многих механических системах движение описывается нелинейными дифференциальными уравнениями. Рассматриваемая в работе модель контактного взаимодействия является нелинейной, поэтому дифференциальное уравнение движения в условиях свободных колебаний имеет вид:

$$m\ddot{x} + P(x) = 0;$$

где  $x = \delta$ , а  $P(x)$  выражается из формулы (5). С учетом сказанного дифференциальное уравнение движения жесткой, гладкой сферы по упругопластическому полупространству при ударе будет иметь вид:

$$m\ddot{x} + a_1 \sqrt{x} + a_2 x = 0; \quad (6)$$

$$\text{где } a_1 = -\frac{\beta\gamma^{\frac{1}{2}}}{\alpha^{\frac{3}{2}}}; \quad a_2 = \frac{1}{\alpha}.$$

Считая, что в начальный момент соударения  $\frac{dx}{dt} = v_0$ , после первого интегрирования можно найти скорость сближения в виде

$$\frac{dx}{dt} = \sqrt{v_0^2 - \left( \frac{4a_1 x^{\frac{3}{2}}}{3m} + \frac{a_2 x^2}{m} \right)}; \quad (7)$$

Решая уравнение (7), можно рассчитать величину динамического сближения, максимальную силу удара и максимальное давление в центре контакта. Для вычисления продолжительности удара производится разделение переменных в уравнении (7), а затем интегрирование от начала удара до момента максимального сближения

$$t = \pm \int_0^{x_{\max}} \frac{dx}{\sqrt{v_0^2 - \left( \frac{4a_1 x^3}{3m} + \frac{a_2 x^2}{m} \right)}}. \quad (8)$$

Если принять значение начальной скорости равным нулю ( $v_0 = 0$ ), то можно рассчитать статическое упругопластическое значение сближения. Решение имеет вид:

$$x = \left( \frac{2a_1}{3a_2} \left[ \sin \left( \frac{t\sqrt{a_2}}{2\sqrt{m}} - \frac{\pi}{2} \right) + 1 \right] \right)^2. \quad (9)$$

Значения, рассчитанные по формуле (9), аналогичны значениям, рассчитанным по формуле (5).

Численное решение дифференциального уравнения (6) приводит его к виду эллиптического интеграла, решение которого весьма затратно и громоздко.

Поскольку данная механическая система является нелинейной и обладает диссипацией энергии, то решение также можно получить разложением уравнения (6) в степенные ряды Тейлора в окрестностях точек статического равновесия. Период движения состоит из четырех этапов (рис. 3).

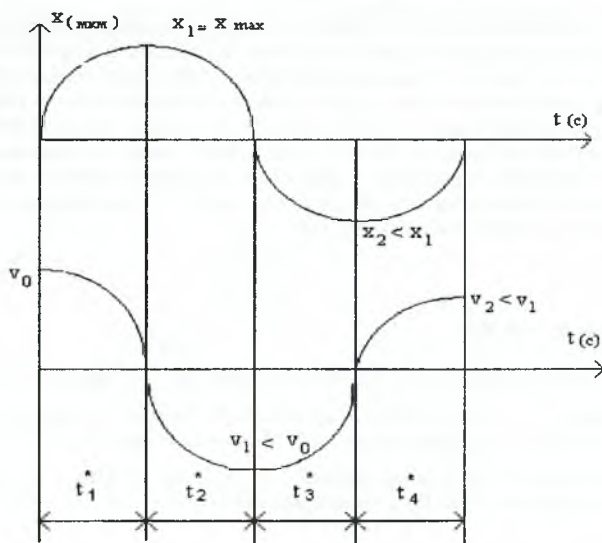


Рис. 3. Графики изменения сближения и скорости от времени процесса

Первый и четвертый – этапы нагрузки, второй и третий – этапы разгрузки. Для определения сближения на каждом этапе можно ограничиться суммой первых пяти значащих членов ряда, поскольку последующие, ввиду их малости, не вносят существенных изменений в конечный результат.

Решение уравнения(6) имеет вид

$$x = \begin{cases} C_0 + C_1 t_1 + C_2 t_1^2 + C_3 t_1^3 + C_4 t_1^4, & 0 \leq t_1 \leq t_1^*; \\ B_0 + B_1 t_2 + B_2 t_2^2 + B_3 t_2^3 + B_4 t_2^4, & 0 \leq t_2 \leq t_2^*; \\ C_0 + C_1 t_3 + C_2 t_3^2 + C_3 t_3^3 + C_4 t_3^4, & 0 \leq t_3 \leq t_3^*; \\ B_0 + B_1 t_4 + B_2 t_4^2 + B_3 t_4^3 + B_4 t_4^4, & 0 \leq t_4 \leq t_4^*. \end{cases} \quad (10)$$

где  $t_1^* \dots t_4^*$  – длительность движения на каждом этапе, а  $C_i, B_i$  – коэффициенты, определяемые по рекуррентным формулам. Начальные условия на первом этапе  $x_0|_{t=0} = C_0 = \delta; v_0|_{t=0} = v$  – начальная скорость в нормальном направлении.

Для определения скорости на каждом этапе необходимо взять первую производную от выражения смещения (10). Наибольшего значения величина сближения достигается в тот момент, когда  $\frac{dx}{dt} = 0$ .

В заключение следует отметить, что данный численно-аналитический метод дает возможность рассчитать параметры контактной жесткости и прочности как в условиях статического, так и условиях динамического нагружения. Использование этого алгоритма расчета позволит дать оценку влияния упругопластических деформаций на контактную прочность для случая удара жесткого гладкого шара о гладкое упругопластическое полупространство. Однако, предлагаемый численно-аналитический метод расчета может быть использован и для расчета упругопластического контактного взаимодействия шероховатых тел. Для этого в формуле (5) необходимо учесть параметры микрогеометрии контактирующих тел.

### Список литературы

1. Тимошенко С.П., Гудьер Дж. Теория упругости. – М.: Наука, 1975. – 567 с.
2. Дрозд М.С., Матлин М.М., Сидякин Ю.И. Инженерные расчеты упругопластической контактной деформации. – М.: Машиностроение, 1986. – 220 с.
3. Котенева Н.В. Упругопластический контакт гладкой сферы с плоской поверхностью при динамическом нагружении // Изв. ТПУ. -2005.-Т.308.- № 2.-С.114-116.